

Física de Partículas 2013

Universidad
Industrial de
Santander



- Unidad: 01
- Clase: 03
- Fecha: 20130910M
- Contenido: Dinámica
- Archivo: 01-03-20130910M-HA-dinamica.pdf

La “tabla periódica” de las partículas

Leptones, quarks y mediadores

| three generations of matter (fermions) | | | | |
|--|--------------------------|--------------------------|--------------------------|-------------------------|
| | I | II | III | |
| mass→ | 2.4 MeV/c ² | 1.27 GeV/c ² | 171.2 GeV/c ² | 0 |
| charge→ | $\frac{2}{3}$ | $\frac{2}{3}$ | $\frac{2}{3}$ | 0 |
| spin→ | $\frac{1}{2}$ | $\frac{1}{2}$ | $\frac{1}{2}$ | 1 |
| name→ | up | charm | top | photon |
| | | | | |
| | 4.8 MeV/c ² | 104 MeV/c ² | 4.2 GeV/c ² | 0 |
| | $-\frac{1}{3}$ | $-\frac{1}{3}$ | $-\frac{1}{3}$ | 0 |
| | $\frac{1}{2}$ | $\frac{1}{2}$ | $\frac{1}{2}$ | 1 |
| | down | strange | bottom | gluon |
| | | | | |
| | <2.2 eV/c ² | <0.17 MeV/c ² | <15.5 MeV/c ² | 91.2 GeV/c ² |
| | 0 | 0 | 0 | 0 |
| | $\frac{1}{2}$ | $\frac{1}{2}$ | $\frac{1}{2}$ | 1 |
| | electron neutrino | muon neutrino | tau neutrino | Z boson |
| | | | | |
| | 0.511 MeV/c ² | 105.7 MeV/c ² | 1.777 GeV/c ² | 80.4 GeV/c ² |
| | -1 | -1 | -1 | ± 1 |
| | $\frac{1}{2}$ | $\frac{1}{2}$ | $\frac{1}{2}$ | 1 |
| | electron | muon | tau | W boson |

- Materia
- Interacciones
- Masa
- Parece inocente:
 - (6·2) leptones = 12 l
 - ((6·3)·2) quarks = 36 q
 - (1+8+3+1)=13 bosones de calibre (gauge, interacciones)
- 61 partículas “fundamentales”

Teorema de Noether

- **Simetrías de las ecuaciones \leftrightarrow Cargas conservadas**
 - Invariancia rotaciones \leftrightarrow Cons. momento angular
 - Invariancia traslaciones espaciales \leftrightarrow Cons. momento lineal
 - Invariancia traslaciones temporales \leftrightarrow Cons. Energía
 - Ver por ejemplo, Landau & Lifshitz, Vol 1 (Mechanics, Cap II)
 - Para simetrías, caldo Knorr, Landay & Lifshitz, Vol 3 (Quantum Mechanics, Non-Relativistic Theory, Cap XII)
- ¡Cuidado! Dice “simetría de las ecuaciones”, no del problema \rightarrow un cuerpo en rotación puede no tener un sólo eje de simetría pero conserva el impulso angular

**Las ecuaciones de movimiento son simétricas \leftrightarrow
 \leftrightarrow Hay cargas conservadas**

Acción, simetrías y cargas

- ¿Qué fue primero, el huevo o la gallina?
 - ¿La conservación de la energía o la invariancia temporal?
 - Aquí es simple: el huevo fue primero...
 - Los principios de conservación se basan en observaciones de los sistemas naturales → “prejuicios”
 - Las **ecuaciones movimiento**, y por ende la **acción**, debe tener las **simetrías necesarias para verificar las conservaciones observadas**
 - “**La carga [eléctrica] es una magnitud conservada**”
 - Significa que nunca en la historia (es decir, *nunca hasta hoy y esperamos que eso no cambie -prejuicio-*) se observó un proceso donde la cantidad de carga [eléctrica] inicial y final difieren
- **Moraleja 1: Nuestra acción deberá incluir alguna simetría que, Noether mediante, contemple la conservación de la carga eléctrica**
 - **Moraleja 2: La física es una ciencia natural, de carácter observacional y/o experimental → no es una ciencia “exacta”**

Magnitudes conservadas

LEPTON CLASSIFICATION

| l | Q | L_e | L_μ | L_τ |
|------------|-----|-------|---------|----------|
| e | -1 | 1 | 0 | 0 |
| ν_e | 0 | 1 | 0 | 0 |
| μ | -1 | 0 | 1 | 0 |
| ν_μ | 0 | 0 | 1 | 0 |
| τ | -1 | 0 | 0 | 1 |
| ν_τ | 0 | 0 | 0 | 1 |

$$p^+ \bar{\nu}_e \rightarrow n e^+$$



$$p^+ \nu_e \rightarrow n e^-$$



$$\mu^- \rightarrow e^- \bar{\nu}_e \nu_\mu$$



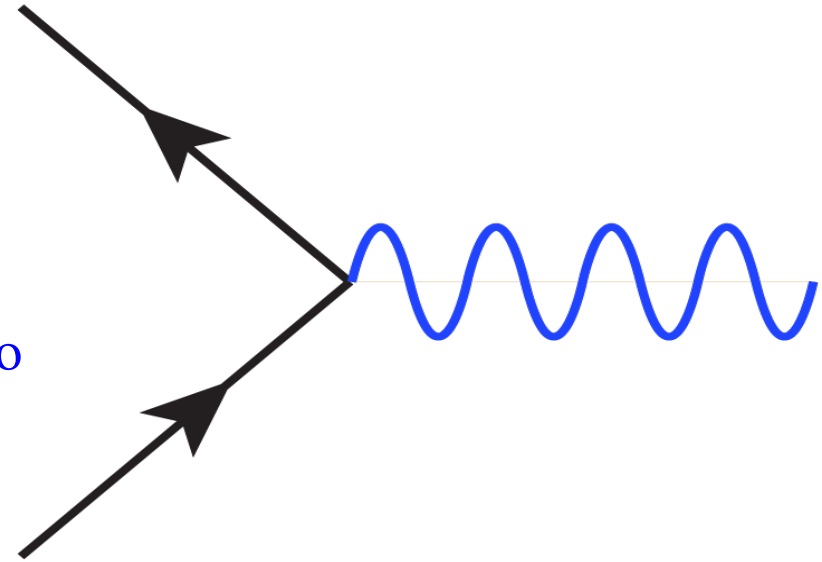
$$p^+ \bar{\nu}_\mu \rightarrow n e^+$$



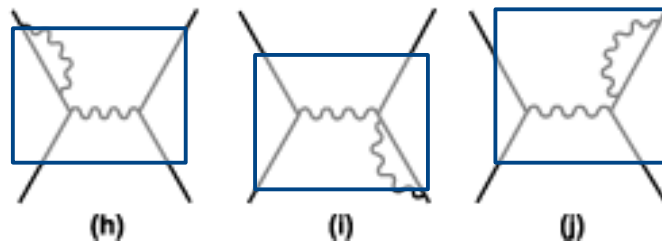
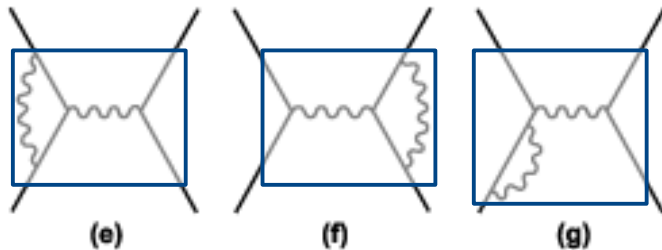
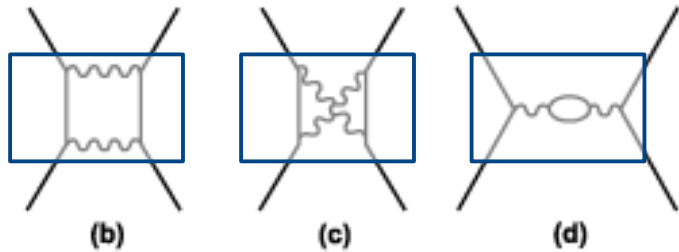
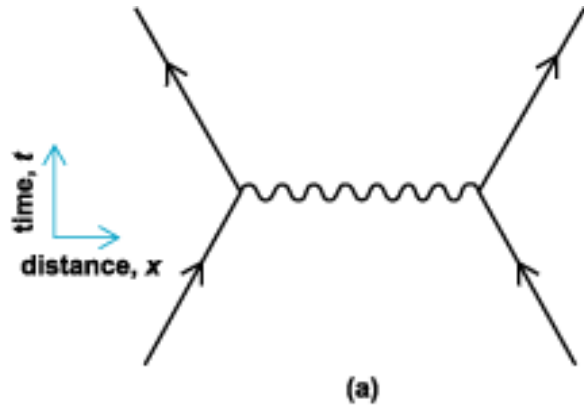
- Carga eléctrica
- Número leptónico por sabor (flavor)
- Las antipartículas tienen signos opuestos en todos los números
- Entonces, hay “12” leptones diferentes
- **Los números antes y después de la reacción deben conservarse**

QED (Quantum Electro Dynamics)

- **Electrodinámica cuántica (QED)**: teoría cuántica de campos (relativista) que describe las interacciones EM que ocurren entre partículas con carga eléctrica ($Q \neq 0$)
- Diagramáticamente, el proceso elemental en QED puede representarse con el siguiente vértice:
- **Convenciones diagramáticas**
 - El tiempo se dibuja en dirección vertical sentido positivo hacia arriba
 - La línea ondulada representa el intercambio de un fotón
 - La flecha corresponde a una partícula cargada. Si la flecha apunta “contra” el tiempo (sentido hacia abajo), representa a una antipartícula
 - Los trazos no representan las trayectorias de las partículas
 - En los vértices no pueden violarse las leyes de conservación



Muchas contribuciones a un mismo estado



- Todos estos procesos tienen los **mismos estados| asintóticos**
- ¿Cuál de todos ellos ocurrió en realidad?
- Imposible saberlo → **Ocurrieron todos** al mismo tiempo, y las **infinitas posibles combinaciones** también
- En QED, las contribuciones de cada estado al resultado final son cada vez más pequeñas (vértice $\sim \alpha_{EM} \sim 1/137$)

Transformaciones de Lorentz (TL ó Λ)

- Grupo de Poincare: Grupo de isometrías del espacio tiempo de Minkowsky
- Traslación temporal (1)
- Traslación espacial (3)
- Rotación espacial (3)
- Boosts espacial (3)
- Forman grupo frente a la composición de operaciones
 - Hay una isometría “unidad” (no hago nada); existe la inversa (voy y vengo); son asociativas
- Las transformaciones de Lorentz (Λ) son un subgrupo del grupo de Poincare ($\mathbf{C} = \mathbf{0}$)
 - Preservan el origen (invariante) \rightarrow Rotaciones y Boosts
- Caldo knorr sobre Poincare: se los consigo a pedido

$$x'^{\mu} = x^{\nu} \Lambda_{\nu}^{\mu} + C^{\mu}$$

Boosts

- Transformaciones de Lorentz no rotantes
 - Cambios entre marcos de referencia inerciales
- Quedan definidos por γ de Lorentz.
- Puede demostrarse que un boost en la dirección x puede expresarse

$$\Lambda \equiv \Lambda_v^\mu = \begin{bmatrix} \gamma & -\beta\gamma & 0 & 0 \\ -\beta\gamma & \gamma & 0 & 0 \\ 0 & 0 & 1 & 0 \\ 0 & 0 & 0 & 1 \end{bmatrix}$$

- Y luego, $S \rightarrow S'$:

$$\begin{bmatrix} t' \\ x' \\ y' \\ z' \end{bmatrix} = \begin{bmatrix} \gamma & -\beta\gamma & 0 & 0 \\ -\beta\gamma & \gamma & 0 & 0 \\ 0 & 0 & 1 & 0 \\ 0 & 0 & 0 & 1 \end{bmatrix} \begin{bmatrix} t \\ x \\ y \\ z \end{bmatrix}$$

Tarea 03-I (entrega en la 05)

- Verificar que lo anterior representa un boost en la dirección x de un sistema S' a un sistema S
- Escribir la transformación Λ para un boost en la dirección z
- Encontrar que los componentes de la (por ahora) matriz Λ para una transformación general de Lorentz, $\mathbf{x}' = \Lambda \mathbf{x}$, representando un boost a un sist. con velocidad $\mathbf{v} = (\beta_1, \beta_2, \beta_3)$ c respecto al sistema de referencia son:

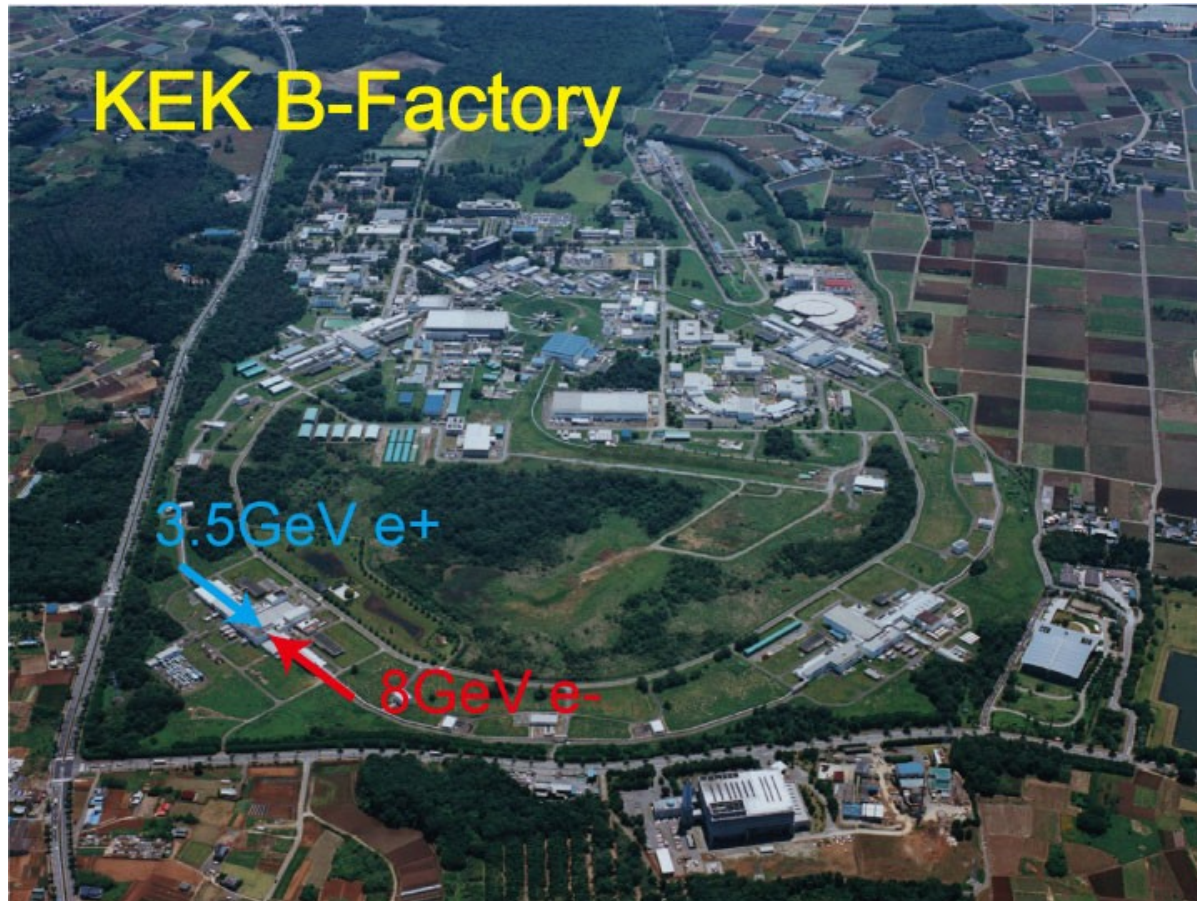
$$\Lambda_{00} = \gamma,$$

$$\Lambda_{i0} = \Lambda_{0i} = -\beta_i \gamma,$$

$$\Lambda_{ij} = \Lambda_{ji} = \delta_{ij} + (\gamma - 1) \frac{\beta_i \beta_j}{\beta^2}$$

- continuará....

Ejemplo real



- Beam asimétrico
- Colisión e^+/e^-
- $E_+ = 3.5 \text{ GeV}$
- $E_- = 8.0 \text{ GeV}$
- Boost CM:

$$\beta \gamma = \frac{E_- - E_+}{\sqrt{4 E_- E_+}}$$

Tareíta (continuación):

Con los valores dados, calcular la vida media τ de un bosón B en el frame del laboratorio (sacar τ_0 del booklet). Luego, calcular la distancia recorrida en el detector

Tensores

- Caldo Knorr: Hernández & Núñez, “Métodos de Matemáticas Aplicadas”, Vol 1, Cap 3

- Convención de Einstein en notación covariante

- Índices latinos, i,j,k... espaciales (1..3),
- Índices griegos μ, ν, ρ, \dots espaciotemporales (0..3)

- Métrica de Minkowsky (plana)

- Convención de signos usual en partículas, (1,-1,-1,-1).

- La métrica queda

$$\mathbf{g} \equiv g_{\mu\nu} = \begin{bmatrix} 1 & 0 & 0 & 0 \\ 0 & -1 & 0 & 0 \\ 0 & 0 & -1 & 0 \\ 0 & 0 & 0 & -1 \end{bmatrix} = g^{\mu\nu} \equiv \mathbf{g}^{-1}$$

Verificar: $\mathbf{g} \mathbf{g}^{-1} = \delta_v^\mu$

Verificar: $g_{\mu\nu} \Lambda_\rho^\mu \Lambda_\sigma^\nu = g_{\rho\sigma}$

- Definimos cuadrivector contravariante (**cuadrivector**) a un tensor contravariante de rango 1, que ante una transformación de Lorentz Λ se comporta como:

$$a'^\mu = \Lambda_\nu^\mu a^\nu \quad \text{cuadrivector}$$

Tensores

- Tensores de rango n
- Transforman según n TL

$$F'^{\mu\nu} = \Lambda_{\rho}^{\mu} \Lambda_{\sigma}^{\nu} F^{\rho\sigma}, \quad O'^{\mu\nu\theta} = \Lambda_{\rho}^{\mu} \Lambda_{\sigma}^{\nu} \Lambda_{\tau}^{\theta} O^{\mu\nu\tau}$$

- Hay tensores covariantes

$$F_{\mu\nu} = g_{\mu\rho} g_{\nu\sigma} F^{\rho\sigma}$$

- Y tensores n -covariantes y m -contravariantes

$$F_{\mu}^{\nu} = g_{\mu\rho} F^{\nu\rho}$$

- Para propiedades generales, ver Cap. 03 Hernández & Núñez

cos y contras

- Cada vector contravariante (vector) tiene asociado un vector covariante (forma), gracias a la métrica (contra \rightarrow co)

(“el tensor métrico sube y baja índices”) $a_\mu = g_{\mu\nu} a^\nu = (t, -\mathbf{r})$

- La transformación inversa co \rightarrow contra

$$a^\mu = g^{\mu\nu} a_\nu = (t, \mathbf{r})$$

- ¿Cómo transforma ante Λ un vector covariante?

$$a'_\mu = g_{\mu\nu} a'^\nu = g_{\mu\nu} \Lambda^\nu_\rho a^\rho$$

$$a'_\mu = g_{\mu\nu} \Lambda^\nu_\rho g^{\rho\sigma} a_\sigma$$

- Ya que:

$$g_{\mu\nu} \Lambda^\nu_\rho \Lambda^\mu_\theta = g_{\rho\theta}$$

$$g_{\mu\nu} \Lambda^\nu_\rho \Lambda^\mu_\theta g^{\rho\sigma} = g_{\rho\theta} g^{\rho\sigma}$$

$$(g_{\mu\nu} \Lambda^\nu_\rho g^{\rho\sigma}) \Lambda^\mu_\theta = \delta^\sigma_\theta$$

$$\Xi^\sigma_\mu \Lambda^\mu_\theta = \delta^\sigma_\theta \rightarrow \Xi^\sigma_\mu = (\Lambda^{-1})^\sigma_\mu$$

Notar: Si

Λ representa un boost β ,

Λ^{-1} representa un boost $-\beta$

(covariantes · contravariantes) → invariantes

- **Propuesta 1:** La composición de dos TL es una TL

- **Prueba:** $a'^{\mu} = \Lambda^{\mu}_{\nu} a^{\nu}, \quad a''^{\rho} = \Lambda'^{\rho}_{\mu} a'^{\mu}$

$$a''^{\rho} = \Lambda'^{\rho}_{\mu} \Lambda^{\mu}_{\nu} a^{\nu}$$

$$a''^{\rho} = (\Lambda' \Lambda)^{\rho}_{\nu} a^{\nu}$$

$$a''^{\rho} = \Lambda''^{\rho}_{\nu} a^{\nu}$$

- **Propuesta 2:** El producto escalar $a \cdot b \equiv a_{\mu} b^{\mu}$ es invariante ante transformaciones de Lorentz

- **Prueba:** $a' \cdot b' = a'_{\mu} b'^{\mu}$

$$a' \cdot b' = (\Lambda^{-1})^{\sigma}_{\mu} a_{\sigma} (\Lambda)^{\mu}_{\rho} b^{\rho}$$

$$a' \cdot b' = (\Lambda^{-1})^{\sigma}_{\mu} (\Lambda)^{\mu}_{\rho} a_{\sigma} b^{\rho}$$

$$a' \cdot b' = \delta^{\sigma}_{\rho} a_{\sigma} b^{\rho}$$

$$a' \cdot b' = a_{\rho} b^{\rho} = a \cdot b$$

Tres invariantes famosos

- II

$$ds^2 \equiv dx^\mu dx_\mu = d(ct)^2 - (dx)^2 - (dy)^2 - (dz)^2$$

- Derivadas parciales

$$\frac{\partial}{\partial x^\mu} \equiv \partial_\mu = \left(\frac{\partial}{\partial t}, \nabla \right) \text{ y } \frac{\partial}{\partial x_\mu} \equiv \partial^\mu = g^{\mu\nu} \partial_\nu = \left(\frac{\partial}{\partial t}, -\nabla \right)$$

luego $\partial_\mu \partial^\mu = \left(\frac{\partial^2}{\partial t^2} - \nabla^2 \right)$ Operador de D'Alembert

- Cuadrivector Energía-momento $E = \gamma m_0$ $\mathbf{p} = \gamma m_0 \mathbf{v}$

$$p^\mu = (E, \mathbf{p}) \text{ y } p_\mu = g_{\mu\nu} p^\nu = (E, -\mathbf{p})$$

luego

$$p^\mu p_\mu = E^2 - \mathbf{p}^2 = m_0^2$$

Tarea 03 (viene de antes)

- Verificar explícitamente que p_{mpm} es un invariante
- Leer sección 3.4 Griffiths, para discutir en clase 05
- Problema 3.4, 3.11, 3.12, 3.14, alguno del 3.15